

УДК 533.95:537.84

## СОЛИТОНЫ В ПЛАЗМЕ С ХОЛЛОВСКОЙ ДИСПЕРСИЕЙ

ОСИН А. И.

Рассматривается система уравнений идеальной магнитной гидродинамики с учетом токов Холла. Изучение одномерных стационарных решений, затухающих на бесконечности, сводится к исследованию гамильтоновой динамической системы с неоднозначными правыми частями. Производится качественное исследование системы с определением области существования указанных решений. Решения имеют вид уединенных волн — солитонов. Получено точное решение в квадратурах, описывающее структуру солитонов. Указано на существование двух солитонов альфвеновского типа. Анализируются области существования соответствующих решений. В предельных случаях магнитозвуковых и альфвеновских солитонов решения выражаются в явном виде в элементарных функциях.

**1. Качественный анализ.** В качестве исходной системы уравнений для разреженной плазмы в сильном магнитном поле при больших магнитных числах Рейнольдса воспользуемся системой уравнений бездиссипативной магнитной гидродинамики с учетом холловских токов [1]. Для одномерных стационарных волн все параметры плазмы являются функциями переменной  $\xi = x - \lambda t$ , где  $\lambda = \text{const} > 0$  — скорость волны. Система уравнений в этом случае сводится к системе обыкновенных дифференциальных уравнений, интегрирование которой с граничными условиями затухания на бесконечности ( $u=v=w=0$ ,  $\rho=\rho_0$ ,  $p=p_0$ ,  $\mathbf{V}=\mathbf{V}_0$ ,  $\mathbf{V}'=0$  при  $\xi \rightarrow -\infty$ ), приводит к следующей системе уравнений [1]:

$$\begin{aligned} (u-\lambda)\rho &= -\lambda\rho_0, & v &= -\frac{B_x(B_y - B_{y0})}{4\pi\rho_0\lambda}, & w &= -\frac{B_x B_z}{4\pi\rho_0\lambda} \\ -\lambda\rho_0 u + p + \frac{B^2}{8\pi} &= p_0 + \frac{B_0^2}{8\pi}, & p &= p_0 \left( \frac{\rho}{\rho_0} \right)^\gamma \\ \left[ u + \lambda \left( \frac{V_{Ax}^2}{\lambda^2} - 1 \right) \right] B_y &= \lambda B_{y0} \left( \frac{V_{Ax}^2}{\lambda^2} - 1 \right) + \kappa \frac{\rho_0}{\rho} B_z' & (1.1) \\ \left[ u + \lambda \left( \frac{V_{Ax}^2}{\lambda^2} - 1 \right) \right] B_z &= -\kappa \frac{\rho_0}{\rho} B_y' \\ V_{Ax}^2 &= \frac{B_{x0}^2}{4\pi\rho_0}, & \kappa &= \frac{V_{Ax}^2}{\Omega^+} \end{aligned}$$

Здесь  $\Omega^+$  — циклотронная частота ионов. При этом система координат выбрана таким образом, что  $B_{z0} = 0$ . В работе [1] получены приближенные решения системы (1.1) в предположении слабой нелинейности и дисперсии, а также при дополнительном предположении  $|(V_{Ax}^2/\lambda^2 - 1)| \gg 1$ . Эти решения соответствуют магнитозвуковым солитонам.

Рассмотрим систему уравнений (1.1) в точном виде. Исключая  $u$  и  $p$ , получим систему, состоящую из двух обыкновенных дифференциальных

уравнений первого порядка и одного конечного соотношения (интеграла)

$$h_y' = -\frac{\lambda(\rho^* + \varphi)h_z}{\kappa(1 - \rho^*)}, \quad h_z' = \frac{\lambda(\rho^* + \varphi)h_y - \lambda\varphi}{\kappa(1 - \rho^*)} \quad (1.2)$$

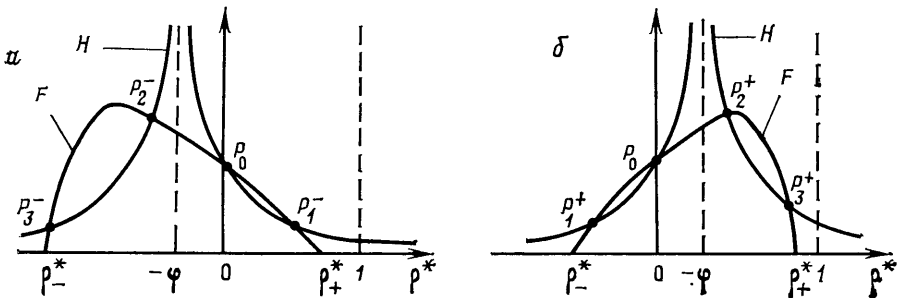
$$h_{\perp}^2 = F(\rho^*) \stackrel{\text{дет}}{=} 1 + 2 \frac{\beta}{\sin^2 \theta} \left[ 1 + \gamma \left( \frac{\lambda^2}{a_0^2} \right) \rho^* - \frac{1}{(1 - \rho^*)^\tau} \right] \quad (1.3)$$

$$\rho^* = \frac{\rho - \rho_0}{\rho}, \quad h_{\perp}^2 = h_y^2 + h_z^2, \quad h_{\perp} = \frac{B_{\perp}}{B_{\perp 0}}$$

$$a_0^2 = \frac{\gamma p_0}{\rho_0}, \quad \beta = \frac{4\pi p_0}{B_0^2}, \quad \varphi = \left( \frac{V_{Ax}^2}{\lambda^2} - 1 \right)$$

Здесь  $\theta$  — угол между направлением невозмущенного магнитного поля  $B_0$  и осью  $x$ . Соотношение (1.3) определяет величину  $\rho^*$  как неявную, двузначную функцию  $h_{\perp}$ . Стационарным решениям исходной системы уравнений, затухающим на минус бесконечности, соответствуют траектории системы (1.2), выходящие из «начальной» точки  $P_0(1, 0, 0)$  и расположенные на поверхности  $\Sigma$  (определяемой (1.3)) в пространстве  $R^3(h_y, h_z, \rho^*)$ .

Соотношение (1.3) определяет поверхность вращения с осью  $\rho^*$  в качестве оси симметрии. Функция  $F(\rho^*)$  ограничена сверху и имеет два корня, один из которых положительный ( $\rho_+^*$ ), другой отрицательный ( $\rho_-^*$ ), кроме того,  $F(0) = 1$  и  $F''(\rho^*) < 0$ . Максимум  $F(\rho^*)$  находится в области отрицательных значений  $\rho^*$  при  $\lambda^2 < a_0^2$  и в области положительных значений  $\rho^*$  при  $\lambda^2 > a_0^2$ . Качественно вид функции



Фиг. 1

$F(\rho^*)$  представлен на фиг. 1. Из перечисленных свойств функции  $F(\rho^*)$ , в частности, следует, что  $\Sigma$  — гладкая, выпуклая поверхность, гомеоморфная двумерной сфере  $S^2$ . В дальнейшем точки  $(0, 0, \rho_+^*)$  и  $(0, 0, \rho_-^*)$  будем называть соответственно северным  $N$  и южным  $S$  полюсом, окружность максимального радиуса  $F = \max F(\rho^*)$  — экватором. На экваторе  $F'(\rho^*) = F'(\rho_0^*) = 0$ ,  $\rho_0^* = 1 - (a_0^2/\lambda^2)^{1/(\tau+1)}$ . Части поверхности  $\Sigma$ , лежащие по разные стороны от экватора, будем называть северным  $\Sigma_N$  и южным  $\Sigma_S$  «полушариями».

Фактически речь идет о двух динамических системах, соответствующих двум ветвям двузначной функции  $\rho^*(h_{\perp})$ . Фазовым пространством для каждой из них служит круг  $K: h_{\perp} < h_{\perp \max}(\lambda)$  на плоскости  $(h_y, h_z)$ . Удобно рассматривать эти системы как одну динамическую систему в  $R^3(h_y, h_z, \rho^*)$  на поверхности уровня  $\Sigma$  интеграла (1.3). Следует отметить, что на экваторе для такой динамической системы нарушаются условия теоремы существования и единственности решений, так что траектории, выходящие на экватор, будут соответствовать непродолжаемым решениям. Стационарные решения исходной системы уравнений, затухающие на минус бесконечности, существуют тогда и только тогда, когда существуют целые траектории (траектории, вдоль которых параметр  $\xi$  изменяется от  $-\infty$  до  $+\infty$ ) системы (1.2), выходящие из точки  $P_0$ .

Нетрудно видеть, что начальная точка  $P_0(1, 0, 0)$ , имеющая смысл значений параметров плазмы при  $x \rightarrow -\infty$ , является особой точкой системы (1.2).

Характеристическое уравнение, составленное для линеаризованной в точке  $P_0$  системы, имеет вид

$$\Lambda^2 + \det L_0 = 0, \quad \det L_0 = \frac{(\lambda^2 - a_+^2)(\lambda^2 - a_-^2)(\lambda^2 - V_{Ax}^2)}{\kappa^2 \lambda^2 (\lambda^2 - a_0^2)} \quad (1.4)$$

$$a_{+,-} = \frac{1}{2} \frac{\sqrt{v a_0^2 + V_{A0}^2 + 2a_0 V_{Ax}} \pm \sqrt{v a_0^2 + V_{A0}^2 - 2a_0 V_{Ax}}}{v}, \quad V_{A0}^2 = \frac{B_0^2}{4\pi\rho_0}$$

Здесь  $a_+$ ,  $a_-$  — скорости соответственно быстрых и медленных магнитозвуковых возмущений,  $L_0$  — матрица линеаризованной в точке  $P_0$  системы. В случае  $\text{Re } \Lambda \neq 0$  (невырожденный случай) поведение траекторий нелинейной системы (1.2) в достаточно малой окрестности точки  $P_0$  качественно не отличается от поведения траекторий линеаризованной системы. В дальнейшем примем, что скорость волны  $\lambda$  не совпадает ни с одной из характеристических скоростей и не равна  $a_0$ , тогда  $\det L_0 \neq 0, \infty$ .

Если  $\det L_0 > 0$ , то  $\Lambda_{1,2} = \pm i \sqrt{\det L_0}$  и особая точка  $P_0$  линеаризованной системы — центр. Особая точка  $P_0$  нелинейной системы (1.2) в этом случае — либо центр, либо фокус. В силу инвариантности системы (1.2) относительно преобразования  $h_x \rightarrow -h_x$ ,  $\xi \rightarrow -\xi$  траектории системы в окрестности особой точки, лежащей на плоскости  $h_x = 0$ , не могут иметь вид спиралей (принцип симметрии Пуанкаре), поэтому особая точка  $P_0$  в этом случае — центр. Но тогда не существует ни одной траектории, выходящей из особой точки  $P_0$  и, следовательно, не существует стационарных решений исходной системы уравнений, затухающих на бесконечности.

Если  $\det L_0 < 0$ , то  $\Lambda_{1,2} = \pm \sqrt{-\det L_0}$  и особая точка  $P_0$  как у линейной, так и у нелинейной системы — седло. В этом случае имеются две выходящие из  $P_0$  траектории (сепаратрисы).

Таким образом, условие  $\det L_0 < 0$  является необходимым условием существования стационарных решений, затухающих на бесконечности. Из (1.4) следует, что это условие эквивалентно выполнению одного из следующих двух неравенств:

$$a_-^2 < \lambda^2 < \min[a_0^2, V_{Ax}^2] \quad (1.5)$$

$$\max[a_0^2, V_{Ax}^2] < \lambda^2 < a_+^2$$

Скорость волны  $\lambda$  должна лежать в одном из двух непересекающихся интервалов. Решения (если они существуют) с меньшими значениями  $\lambda$  будем называть медленными, с большими значениями  $\lambda$  — быстрыми волнами. Вид функции  $F(\rho^*)$  для медленных и быстрых волн представлен на фиг. 1,  $a$  и  $b$  соответственно. В медленных волнах магнитное поле с ростом плотности убывает, а с уменьшением плотности растет:  $dh_{\perp}/d\rho^* < 0$ . В быстрых волнах  $dh_{\perp}/d\rho^* > 0$ . Можно заметить, что характер изменения магнитного поля в волне в зависимости от изменения плотности аналогичен изменению магнитного поля в простых волнах в изотропной магнитной гидродинамике [2].

Для полного качественного исследования необходимо выяснить вопрос о наличии и характере других особых точек системы (1.2), а также о поведении сепаратрис особой точки  $P_0$  (фазовых траекторий искомых решений).

Исключая из рассмотрения тривиальные решения при  $\lambda = 0$ ,  $\lambda = V_{Ax}$ , из (1.2), (1.3) получим систему для определения особых точек

$$h_z = 0, \quad h_y = \frac{\varphi}{\rho^* + \varphi}, \quad F(\rho^*) = \frac{\varphi^2}{(\rho^* + \varphi)^2} \stackrel{\text{def}}{=} H(\rho^*) \quad (1.6)$$

Особым точкам, таким образом, соответствуют общие точки кривой  $F(\rho^*)$  и гиперболы  $H(\rho^*)$ , причем всегда существует по крайней мере одна общая точка, соответствующая особой точке  $P_0$ , так как  $F(0) = H(0) = 1$ . Вообще может быть не более четырех общих точек (по две на каждой ветви гиперболы), так как  $F'' < 0$  и  $H'' > 0$ . Можно показать, что для медленных волн особая точка  $P_1^-$ , лежащая на

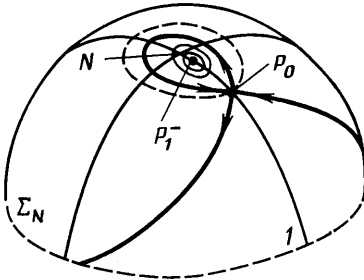
ветви гиперболы, проходящей через  $P_0$ , находится в области  $\rho^* > 0$ , причем  $P_1^- \rightarrow P_0$  при  $\lambda^2 \rightarrow a_-^2$  и  $P_1^- \rightarrow N$  при  $\lambda^2 \rightarrow V_{Ax}^2$ . Для быстрых волн особая точка  $P_1^+$ , лежащая на одной ветви гиперболы с  $P_0$ , находится в области  $\rho^* < 0$ , причем  $P_1^+ \rightarrow P_0$  при  $\lambda^2 \rightarrow a_+^2$  и  $P_1^+ \rightarrow S$  при  $\lambda^2 \rightarrow V_{Ax}^2$  (фиг. 1). В обоих случаях, как это видно из (1.6),  $\text{sgn}(h_y)_{P_1} = -1 = \text{sgn}(h_y)_{P_0}$ . Когда скорость волны равна одной из магнитозвуковых скоростей, гипербола  $H(\rho^*)$  касается кривой  $F(\rho^*)$  в точке  $P_0$ . Очевидно,  $P_2 \rightarrow P_0^*$   $(-1, 0, 0)$ , когда  $\lambda^2 \rightarrow V_{Ax}^2$  ( $\varphi \rightarrow 0$ ), а  $P_3$  всегда находится в противоположном  $P_0$  полушарии и, следовательно, недостижима для траекторий, выходящих из  $P_0$ .

Линеаризация системы в окрестности любой из четырех возможных особых точек  $P_i$  приводит к линейной системе с характеристическим уравнением

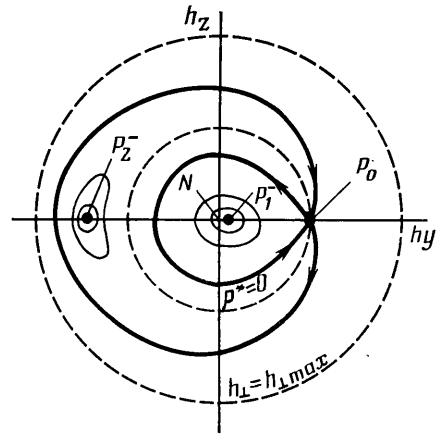
$$\Lambda^2 + \det L_i = 0, \quad \det L_i = \frac{\lambda^2}{\kappa^2} \left( \frac{\rho^* + \varphi}{1 - \rho^*} \right)^2 \left[ 1 - \frac{H'(\rho^*)}{F'(\rho^*)} \right]_{P_i}$$

Особая точка  $P_1$  в тех случаях, когда решения вообще существуют ( $\det L_0 < 0$ ), — центр (принцип симметрии), поскольку  $\det L_1 > 0$  как для медленных, так и для быстрых волн ( $0 < H'(\rho^*)/F'(\rho^*) < 1$ ). Особая точка  $P_2$  — центр, если она находится в том же полушарии, что и  $P_0$ .

Построив поле направлений на окружности  $h_{\perp} = 1$  ( $\rho^* = 0$ ) и осях  $h_y$  и  $h_z$  с помощью (1.2), можно показать, что сепаратриса  $L_1$ , идущая в окрестность одного из полюсов, обязательно пересечет ось  $h_z = 0$  где-то между



Фиг. 2



Фиг. 3

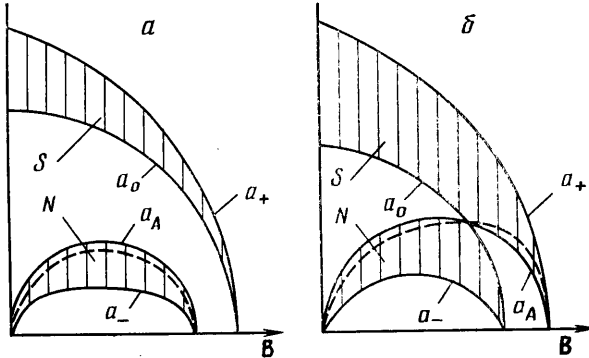
точками  $P_0^*$  и  $P_1$ . Но тогда по принципу симметрии Пуанкаре она обязана вернуться в точку  $P_0$ . Поскольку сепаратриса возвращается в исходную точку, то соответствующее стационарное решение затухает при  $\xi \rightarrow +\infty$  и выходит на те же значения параметров, что и при  $\xi \rightarrow -\infty$ . Таким образом, доказана достаточность условий (1.5) для существования затухающих на бесконечности одномерных стационарных решений. Решения имеют вид уединенных волн — солитонов.

Медленные солитоны являются солитонами сжатия, поскольку сепаратриса  $L_1^-$  целиком находится в области  $\rho^* > 0$  ( $\rho > \rho_0$ ). Быстрые солитоны являются солитонами разрежения, так как  $L_1^+$  находится в области  $\rho^* < 0$ . Качественно фазовый портрет системы в области существования медленных решений изображен на фиг. 2, 3 (кривая 1 — экватор). Для быстрых волн картина качественно аналогична, с той лишь разницей, что движение вдоль сепаратрис происходит в обратном направлении.

Если  $\lambda^2 \rightarrow a_-^2$ , то  $P_1^- \rightarrow P_0$  и решение в этом случае описывает медленный солитон сжатия малой амплитуды, распространяющийся со скоростью, немного большей скорости медленных магнитозвуковых возмущений (медленный магнитозвуковой солитон). Если  $\lambda^2 \rightarrow a_+^2$ , то  $P_1^+ \rightarrow P_0$  и решение описывает быстрый солитон разрежения малой амплитуды, распространяющийся со скоростью, немного меньшей скорости быстрых магнитозву-

ковых возмущений (быстрый магнитозвуковой солитон). Эти предельные случаи соответствуют приближенным решениям, полученным в [4].

Если  $\lambda^2 \rightarrow V_{Ax}^2$ , то  $P_1^- \rightarrow N$  ( $P_1^+ \rightarrow S$ ). Сепаратриса  $L_1^-$  (соответственно  $L_1^+$ ) описывает петлю, целиком лежащую вблизи окружности  $\rho^* = 0$ . Это решение описывает медленный (быстрый) солитон сжатия (разрежения), распространяющийся со скоростью, немного меньше (большей) скорости альфвеновских возмущений, — альфвеновский солитон. Поперечная составляющая магнитного поля, почти не испытывая изменения по величине, совершает один полный оборот вокруг оси  $x$ . Изменение всех величин,



Фиг. 4

кроме угла поворота магнитного поля, в такой волне мало. Описанное решение не содержится в приближенном решении, представленном в работе [1], поскольку для него выполняется условие  $|(V_{Ax}^2/\lambda^2 - 1)| \gg 1$ .

Все перечисленные выше решения характеризуются ослаблением магнитного поля в волне ( $B_{\perp} < B_{10}$ ). Наличие второй сепаратрисы,  $L_2$ , выходящей из точки  $P_0$ , указывает на возможность существования решений с усилением поля. Решения этого типа не существуют, если сепаратриса  $L_2$  выходит на экватор (фиг. 2). На основе результатов точного интегрирования, приводимых ниже, можно доказать, что для значений  $\lambda$ , достаточно близких к  $V_{Ax}$ , существуют оба решения (фиг. 3), соответствующие сепаратрисам  $L_1$  и  $L_2$ . Всегда существуют, таким образом, два альфвеновских солитона ( $\lambda \approx V_{Ax}$ ). На фиг. 4 обозначены области существования медленных  $N$  и быстрых  $S$  солитонов для плазмы с  $\beta > \gamma^{-1}$  (фиг. 4, а) и  $\beta < \gamma^{-1}$  (фиг. 4, б).

**2. Точное решение.** Система (1.2) допускает представление в гамильтоновой форме и интегрируется в квадратурах. Уравнение сепаратрис может быть получено в явном виде в элементарных функциях. Процедуру интегрирования удобно рассмотреть на более общем примере, частным случаем которого является система (1.2)–(1.3). Рассмотрим систему

$$\dot{x} = -\frac{G(f)y}{\Phi(f)}, \quad \dot{y} = \frac{G(f)x + \mu}{\Phi(f)} \quad (2.1)$$

$$F(f) = x^2 + y^2 \quad (2.2)$$

Здесь  $\mu = \text{const}$ ;  $G$ ,  $\Phi$  — произвольные непрерывные функции, причем  $\Phi(f)$  нигде не обращается в нуль,  $F(f)$  — дифференцируемая функция. После замены параметризации  $ds = dt/\Phi(f)$  система (2.1) переписывается в виде

$$x' = -G(f)y, \quad y' = G(f)x + \mu \quad (2.3)$$

Очевидно, функция Гамильтона для системы (2.3)  $H = H^* + \mu x$ , где  $H^*$  — функция Гамильтона невозмущенной системы ( $\mu = 0$ ). При помощи

(2.3) и (2.2) находим

$$H = \frac{1}{2} \int G(f) F_f'(f) df + \mu x \quad (2.4)$$

В силу сохранения функции Гамильтона легко получить уравнение произвольной фазовой траектории, например сепаратрис особой точки  $P_0(x_0, y_0)$

$$x = \frac{1}{\mu} \left( H_0 - \frac{1}{2} \int G(f) F_f'(f) df \right)$$

$$y = \pm \sqrt{F(f) - \frac{1}{\mu^2} \left( H_0 - \frac{1}{2} \int G(f) F_f'(f) df \right)^2}$$

Здесь  $H_0$  — константа, вычисленная при помощи (2.4) в точке  $P_0$ , функция  $f$  выступает в роли параметра. Зависимость  $f(t)$  вдоль выбранной траектории выражается при помощи первого уравнения в (2.1) квадратной

$$t = - \int \frac{\Phi(f) x'(f)}{G(f) y(f)} df$$

Реализация описанной выше процедуры интегрирования применительно к системе (1.2)–(1.3) приводит к уравнению сепаратрис, которое удобно представить в следующем виде:

$$h_y = 1 + \frac{\beta}{\varphi} \left( \frac{1 + \operatorname{tg}^2 \theta}{\operatorname{tg}^2 \theta} \right) \left[ \gamma \left( \frac{\lambda^2}{a_0^2} \right) \rho^* \left( \varphi + \frac{\rho^*}{2} \right) - \frac{\varphi + 1}{(1 - \rho^*)^\tau} + \frac{\gamma}{(\gamma - 1)(1 - \rho^*)^{\tau-1}} + \varphi - \frac{1}{\gamma - 1} \right] \quad (2.5)$$

$$h_z^2 = 1 + 2\beta \left( \frac{1 + \operatorname{tg}^2 \theta}{\operatorname{tg}^2 \theta} \right) \left[ 1 + \gamma \left( \frac{\lambda^2}{a_0^2} \right) \rho^* - \frac{1}{(1 - \rho^*)^\tau} \right]$$

Для определения границы существования второго солитонного решения (соответствующего сепаратрисе  $L_2$ ) запишем условие того, что сепаратриса  $L_2$  выходит на экватор ( $\rho^* = \rho_0^*$ ) в точке с координатой  $h_z = 0$

$$1 + \frac{\beta}{\varphi} \left( \frac{1 + \operatorname{tg}^2 \theta}{\operatorname{tg}^2 \theta} \right) \left\{ \gamma \left( \frac{\lambda^2}{a_0^2} \right) \left[ \varphi + \frac{1}{2} - \frac{(\gamma + 1)(\varphi + 1)}{\gamma} \omega + \frac{1}{2} \frac{\gamma + 1}{\gamma - 1} \omega^2 \right] + \varphi - \frac{1}{\gamma - 1} \right\} + \sqrt{1 + 2\beta \left( \frac{1 + \operatorname{tg}^2 \theta}{\operatorname{tg}^2 \theta} \right) \left\{ 1 + \left( \frac{\lambda^2}{a_0^2} \right) [\gamma - (\gamma + 1) \omega] \right\}} = 0,$$

$$\omega = \left( \frac{a_0^2}{\lambda^2} \right)^{1/(\gamma+1)} \quad (2.6)$$

Непосредственная численная проверка соотношения (2.6) дает узкую зону, примыкающую всюду к альфвеновской скорости. На фиг. 4 граница этой области отмечена (качественно) пунктиром. Точное решение в квадратурах записывается в следующем виде:

$$\lambda \xi = -\kappa \int \frac{(1 - \rho^*) h_y'(\rho^*)}{(\rho^* + \varphi) h_z(\rho^*)} d\rho^* \quad (2.7)$$

Здесь  $h_y(\rho^*)$ ,  $h_z(\rho^*)$  определяются при помощи (2.5).

**3. Солитоны малой амплитуды.** Для магнитозвуковых и альфвеновских солитонов ( $\lambda \approx a_+$ ,  $a_-$ ,  $V_{Ax}$ ) решение может быть представлено в более простом виде, так как эти случаи соответствуют солитонам малой ам-

плитуды ( $|\rho^*| \ll 1$ ). Дифференциальное уравнение, соответствующее (2.7), может быть записано в виде

$$\frac{1}{2} \left( \frac{d\rho^*}{d\xi} \right)^2 + U(\rho^*) = 0$$

Сохраняя в выражении для «потенциала»  $U(\rho^*)$  члены до порядка  $\rho^{*4}$  включительно и опуская громоздкие выкладки, приближенное решение для солитонов малой амплитуды можно записать в виде

$$\frac{d^2\rho^*}{d\eta^2} = -\frac{dU}{d\rho^*} \quad (3.1)$$

$$U = (\alpha\rho^{*2} + \delta\rho^{*3} + \rho^{*4})\Gamma, \quad \Gamma = \operatorname{sgn} \frac{L(\lambda^2 - V_{Ax^2})}{(\lambda^2 - a_0^2)}$$

$$\eta^2 = \xi^2 \left| \frac{L(\lambda^2 - V_{Ax^2})}{\kappa^2 \lambda^2 (\lambda^2 - a_0^2)} \right|, \quad \alpha = \frac{1}{2L} (\lambda^2 - a_+^2) (\lambda^2 - a_-^2), \quad \delta = \frac{K}{L}$$

$$K = (1+k_0) (\lambda^2 - a_+^2) (\lambda^2 - a_-^2)^{-1/2} [k_0 + k_1 - 2/3 k_0 k_1 k_2] (\lambda^2 - V_{Ax^2}) (\lambda^2 - a_0^2)$$

$$L = \frac{1}{2} [\gamma k_0 - (1+k_0)^2] (\lambda^2 - a_+^2) (\lambda^2 - a_-^2) - [(1+k_0) \left( k_0 + k_1 - \frac{2}{3} k_0 k_1 k_2 \right) +$$

$$+ \frac{1}{8} k_1 [(k_0 + k_1)^2 - k_0 k_2]] (\lambda^2 - V_{Ax^2}) (\lambda^2 - a_0^2)$$

$$k_0 = \frac{a_0^2 (\gamma + 1)}{\lambda^2 - a_0^2}, \quad k_1 = \frac{\lambda^2}{\lambda^2 - V_{Ax^2}}, \quad k_2 = \frac{V_{A0}^2 - V_{Ax^2}}{\lambda^2 - a_0^2}$$

Нетривиальные решения существуют только при  $\alpha\Gamma < 0$ , что эквивалентно (1.5). В области, где существуют солитонные решения,  $\Gamma = \operatorname{sgn} L$ , поэтому возможны два случая:  $L > 0, \alpha < 0$ ;  $L < 0, \alpha > 0$ .

В случае  $\Gamma = -1$  существует только одно решение: солитон разрежения при  $\delta > 0$  или солитон сжатия при  $\delta < 0$ . Если  $\delta^2 < 4\alpha$ , то солитонные решения в этом случае вообще не существуют. Интегрирование (3.1) приводит к следующим явным формулам, описывающим структуру солитонов:

$$\rho_{+,-}^* = \frac{A_{+,-}}{\operatorname{ch}^2 \tau + v_{+,-} \operatorname{sh}^2 \tau} \quad (3.2)$$

$$A_{+,-} = \frac{1}{2} (-\delta \pm \Gamma \sqrt{\delta^2 - 4\alpha}), \quad v_{+,-} = \frac{A_{+,-}}{\delta + A_{+,-}}$$

$$\tau = \frac{\xi}{\Delta} = \frac{x - \lambda t}{\Delta}, \quad \Delta = \frac{2}{\sqrt{-\det \mathbf{L}_0}}$$

Величина  $A_{+,-}$  имеет смысл амплитуды солитонов сжатия ( $A_+ > 0$ ) и разрежения ( $A_- < 0$ ),  $\operatorname{sgn} v_+ = \operatorname{sgn} v_- = \Gamma$  и  $v_+ v_- = 1$ . В случае  $\Gamma = -1$ , если  $\delta > 0$ , то  $v_+ < -1$  и солитон сжатия не существует, так как (3.2) перестает быть ограниченным. Если  $\delta < 0$ , то не существует солитон разрежения.

Если  $\lambda^2 \rightarrow a_+^2$  или  $\lambda^2 \rightarrow a_-^2$ , то величина  $L$  в (3.1) остается конечной, так что  $\alpha \rightarrow 0$ , тогда как  $\delta$  остается конечной, поэтому в этих случаях приближенное решение (3.1) описывает только по одному солитону малой амплитуды. Поскольку  $|\alpha|/\delta^2 \rightarrow 0$  как в случае  $L > 0$ , так и в случае  $L < 0$  и, следовательно, одна из величин  $v_{+,-}$  стремится к нулю, то в пределе магнитозвуковые солитоны совпадают по виду с солитонами уравнения Кортвега — де Вриза:

$$\rho_{+,-}^* = A_{+,-} \operatorname{sch}^2 \left( \frac{x - \lambda t}{\Delta} \right)$$

Здесь знаки плюс и минус относятся соответственно к медленному магнитозвуковому солитону сжатия и быстрому магнитозвуковому солитону разрежения. Величина  $\Delta$  имеет смысл характерной ширины солитона, а амплитуда солитонов приближенно равна

$$|A_{+,-}| \approx \left| \frac{\alpha}{\delta} \right| = \left| \frac{1}{2K} (\lambda^2 - a_+^2) (\lambda^2 - a_-^2) \right|$$

Если  $\lambda^2 \rightarrow V_{Ax}^2$ , то  $L \rightarrow \infty$ ,  $\alpha \rightarrow 0$ ,  $\delta \rightarrow 0$ ,  $|\alpha|/\delta^2 \rightarrow \infty$ , так что при  $\lambda^2 \approx V_{Ax}^2$  существуют два решения, причем в этом случае  $v_+ \approx v_- \approx 1$ . Таким образом, предельное решение для альфвеновских солитонов имеет вид

$$\rho_{+,-}^* = \frac{A_{+,-}}{\text{ch}^2 \tau + \text{sh}^2 \tau}$$

с амплитудой  $A_{+,-} = \pm \sqrt{|\alpha|}$  и характерной шириной  $\Delta$ .

По значению параметра  $\lambda$  — скорости солитона — однозначно определяются его амплитуда и ширина. Таким образом, амплитуда и ширина солитонов связаны между собой. В пределе, когда  $\lambda \rightarrow a_+$ ,  $a_-$ ,  $V_{Ax}$ , амплитуда солитонов стремится к нулю, а ширина — к бесконечности, причем таким образом, что  $\Delta^2 A \rightarrow \text{const}$  как для магнитозвуковых, так и для альфвеновских солитонов.

#### ЛИТЕРАТУРА

1. Баранов В. Б., Рудерман М. С. Волны в плазмы с холловской дисперсией. — Изв. АН СССР. МЖГ, 1974, № 3, 108–113.
2. Куликовский А. Г., Любимов Г. А. Магнитная гидродинамика. М.: Физматгиз, 1962. 246 с.

Москва

Поступила в редакцию  
4.IX.1984